

ارزیابی ضریب کاهش شکل‌پذیری مهاربندهای ۷ و ۸ ترکیبی

ابذر اصنی (استادیار)

دانشکده مهندسی عمران، دانشگاه صنعتی ارومیه

دریچه نظریه‌شناسی، اسلام‌آباد، ایران
۱۳۹۵/۱/۱۰-۱۳۹۶/۲/۲۰، پژوهشی، اسلام‌آباد، ایران

در این پژوهش، کارانی الزامات جدید آئین‌نامه‌های طراحی لرزه‌ی ساختمان‌های فولادی و نیز تأثیر تعداد طبقات در ضریب کاهش شکل‌پذیری قاب‌های مهاربندی شده، از نوع ۷ و ۸ ترکیبی مورد ارزیابی قرار گرفته است. براساس تابع این پژوهش، بیشینه ارتفاع مجاز این نوع قاب‌های مهاربندی شده، معمولی، می‌تواند از مقدار موردنظر آئین‌نامه ASCE ۷ (۱۰/۷ متر) یکشتر در نظر گرفته شود و می‌تواند تا ۵ طبقه (حدوداً ۱۵ متر) نیز افزایش یابد. به لحاظ میزان مصالح مصرفی، این نوع قاب‌های مهاربندی شده، ویژه نسبت به قاب‌های مهاربندی شده، معمولی بهتری برای قاب‌های از ۱ تا ۱۶ طبقه، $R = ۰/۵$ درصد مقرون به صرفه‌تر است. همچنین مطابق تابع بدست آمد، ضریب رفتار پیشنهاد شده، در پیش‌نویس ویراش چهارم استاندارد $R = ۰/۵$ برای قاب‌های مهاربندی شده، همگرای ویژه، منطقی تر از ضریب رفتار پیش‌بینی شده، در آئین‌نامه ASCE ۷ ($R = ۶$) است. متأسفانه در این نوع قاب‌های مهاربندی شده، ویژه، در قاب‌های حدوداً بالای ۱۰ طبقه، شکل‌پذیری مورد نیاز تأمین نمی‌شود و برای قاب‌های بالای ۱۰ طبقه باید از ضریب رفتار کوچکتری استفاده شود. براساس تابع این پژوهش، برای این نوع قاب‌های مهاربندی شده، ویژه، و بالای ۱۰ طبقه، ضریب رفتار می‌تواند به میزان بیشینه‌ی ۵ در نظر گرفته شود.

واژگان کلیدی: ضریب رفتار، شکل‌پذیری، ضریب کاهش شکل‌پذیری،
مهاربندهای شورن، تحلیل پوش اورا، تغییر مکان هدف.

a.asghari.69@gmail.com

۱. مقدمه

امروزه بیشتر آئین‌نامه‌های محاسبه‌ی ساختمان در برابر زلزله‌های شدید بر این اساس تدوین شده‌اند که در زمان وقوع زلزله‌های شدید که ممکن است به‌ندرت در طول عمر مفید ساختمان اتفاق بیفتد، باید از خرابی سازه و از واردشدن خسارت‌های جدی به آن جلوگیری کرد. زیرا اگر طراحی آنها به گونه‌یی باشد که رفتار سازه در محدوده‌ی کشسان نگه داشته شود، با وجود اینکه سازه در برابر زلزله می‌تواند عملکرد مطلوبی داشته باشد، طرح حاصل به یک طرح غیراقصادي منتهی می‌شود. به همین دلیل در بیشتر آئین‌نامه‌های زلزله، در زلزله‌های شدید، ورود رفتار سازه‌های ساختمانی به مرحله‌ی غیرکشسان امری منطقی و ضروری فرض شده است و متخصصان بر این باورند که اگر یک سازه‌ی ساخته‌اند که به طور صحیح طراحی شده قادر باشد در اثر تکاله‌های شدید زلزله در محدوده‌ی غیرکشسان تغییر مکان دهد، می‌تواند به مقدار زیاد، انرژی ناشی از زلزله را مستهلك و اهداف اصل یادشده را تأمین کند.

در این پژوهش تلاش شده است ابتدا با استفاده از تحلیل استاتیکی غیرخطی ضریب کاهش شکل‌پذیری قاب‌های ساختمانی ساده توان با مهاربندهای ۷ و ۸ ترکیبی مورد ارزیابی قرار گیرد، سپس مقدار ضریب کاهش شکل‌پذیری بدست آمده از تحلیل استاتیکی غیرخطی با ضریب کاهش شکل‌پذیری موردنیاز مقایسه و در پایان به این سوال پاسخ داده شود که آیا این نوع قاب‌های ساختمانی، شکل‌پذیری موردنظر آئین‌نامه‌ها را تأمین می‌کنند یا نه؟ و برای بهبود رفتار این‌گونه سیستم‌های سازه‌یی چه راهکارهایی باید اندیشیده شود؟

راه حل کلی برای بررسی رفتار غیرکشسان سازه‌های ساختمانی تحلیل دینامیکی غیرخطی آنهاست. ولی از آنجا که این‌گونه تحلیل‌ها نسبتاً پیچیده، زمان‌گیر

و خوب نیستند،

تاریخ: دریافت ۱۲/۱۲/۱۳۹۲، اصلاحیه ۴/۳/۱۳۹۳، پژوهش ۲۷/۳/۱۳۹۳

۲. مهاربندهای ۷ و ۸ ترکیبی

قاب های ساختمانی ساده تر با مهاربندهای همگرا یکی از قدیمی ترین سیستم های سازه بی به شمار می روند، که از گذشته ای نسبتاً دور مورد توجه مهندسان طراحی قرار گرفته است. یکی از نگرانی های اصلی در این گونه سیستم های سازه بی کمانش اعضا مهاربندی در هنگام زلزله و در نتیجه کاهش شکل بذیری این گونه سیستم های سازه بی است. [۱۵] در سال های اخیر برای جلوگیری از کمانش اعضا مهاربندی و نیز افزایش شکل بذیری این گونه سیستم های سازه بی مطالعات گسترده بی صورت گرفته است. برخی پژوهشگران (۲۰۰۴) در مطالعات خود نشان داده اند که استفاده از مهاربندهای همگرای کمانش تا پذیر می تواند رفتار این گونه قاب ها را بهبود بخشد و تیجات شکل بذیری آنها را افزایش دهد. [۱۶]

پژوهشگران دیگری (۲۰۰۶) نیز در مطالعات خود نشان داده اند که استفاده

از مهاربندهای زاویه ای در صورتی که سایر اعضا برای نیروی نظری تسلیم برسی

اعضای زاویه طراحی شوند، به واسطه تغییر شکل های غیرکشسان اعضای زاویه ای

از کمانش مهاربندها جلوگیری و بخش زیادی از انرژی ناشی از زلزله مستهلك

می شود. [۱۷]

متناوب با نتایج بدست آمده از پژوهش های صورت گرفته بر روی این گونه سیستم های سازه بی، از سال ۲۰۱۰ به بعد آئین نامه های طراحی ساختمان ها در برای زلزله نیز تلاش کرده اند تا حدودی ضعف های این گونه سیستم های سازه بی را پوشش دهند، به همین منظور ویرایش چهارم مبحث دهم مقررات ملی ساختمان (ویرایش ۱۳۹۲) و نیز آئین نامه ۱۰ AISC ۳۴۱-۱۰، ضمن معرفی قاب های مهاربندی شده همگرای معمولی و ویژه، برای هر کدام از آنها الزامات خاصی ارائه کرده اند. [۱۸] مطابق آئین نامه های مذکور برای طراحی لزه بی قاب های مهاربندی شده همگرای معمولی و به شکل ۷ و ۸، رعایت این ضوابط الزامی است:

(الف) تیرهای دهانه های مهاربندی شده باید قادر به تحمل نیروهای قاتم حاصل از ترکیب بارهای نقلی بدون حضور مهاربندها باشند.

(ب) تیرهای دهانه های مهاربندی شده باید به این شرح قادر به تحمل نیروهای نامتعادل ناشی از زلزله در ترکیب با بارهای مقلعی ضریب دار باشند: نیروی لزه بی مهاربند کششی، کمترین دو مقدار $R_y F_{yA}$ و نیروی کششی ناشی از ترکیبات بار زلزله ای تشیدیافته و نیروی لزه بی مهاربند فشاری برابر $\frac{1}{3} P_n$.

همچنین در این نوع قاب های مهاربندی شده ویژه، مقاومت های طراحی تیرها و ستونها باید از نیروهای ناشی از این تحلیل ها کوچکتر در نظر گرفته شوند:

(الف) تحلیلی که در آن فرض می شود نیروی مهاربندهای کششی برابر $R_y F_{yA}$ و نیروی مهاربندهای فشاری برابر $\frac{1}{14} F_{creA_g}$ است.

(ب) تحلیلی که در آن فرض می شود نیروی مهاربندهای کششی برابر $R_y F_{yA}$ و نیروی مهاربندهای فشاری برابر $A_g \times \frac{1}{14} F_{cre}$ است، که در آن: $R_y F_{yA}$: نیروی موردنظر مهاربندهای کششی؛ P_n : مقاومت فشاری اسمی؛ $M_{harbend}$: نیروی موردنظر مهاربندهای کششی؛ F_{yA} : تنش تسلیم فشاری؛ A_g : مهاربند فشاری؛ F_{yA} : نیروی موردنظر مهاربندهای فشاری؛ F_{y} : سطح مقطع کلی عضو مهاربندی؛ F_{yA} : تنش تسلیم تعیین شده فولاد؛ F_{cre} : نسبت تنش تسلیم موردنظر فولاد به میزان کمینه تنش تسلیم تعیین شده؛ F_{creA_g} : نیروی درنظر گرفتن افزایش مقاومت موردنیاز؛ F_{cre} : تنش فشاری موردنظر ناشی از کمانش؛ و F_{yA} : تنش تسلیم موردنظر فولاد و برابر $R_y F_{yA}$ است.

۳. معرفی قاب های مورد مطالعه

در این پژوهش برای ارزیابی ضریب کاهش شکل بذیری قاب های ساختمانی ساده تر توأم با مهاربندهای همگرا و به صورت ۷ و ۸ ترکیبی، از ۱۶ قاب ساختمانی تا ۱۶ طبقه استفاده شده است (شکل ۱). فرضیات بکاررفته در تحلیل و طراحی قاب های مذکور عبارت اند از:

- تعداد دهانه های قاب ها ۴، طول دهانه ها برابر ۵ متر، و ارتفاع طبقات برابر $3/4$ متر فرض شده است.

• فرض شده است این قاب ها مریوط به یک ساختمان سه بعدی هستند، که سهم پارگیر مقلعی آنها ۳ متر و سهم پارگیر لزه بی آنها ۴ برابر سهم پارگیر مقلعی آنهاست.

• فرض شده است بار زنده مطابق استاندارد ۲۸۰۰ ایران صورت گرفته است. با این تفاوت که برای تخمین ضریب رفتار قاب از آئین نامه ای ASCE ۷ و پیش نویس ویرایش چهارم استاندارد ۲۸۰۰ ایران استفاده شده است. سایر پارامتر های مرتبط با بارگذاری زلزله به این شرح فرض شده اند: [۱۸]

$$\begin{aligned} V &= \frac{ABI}{R} W \\ A &= ۰,۳۵ \\ T_s &= ۰,۵, T_r = ۰,۱, S = ۱,۵ \\ I &= ۱ \end{aligned} \quad \begin{aligned} \text{برش پایه} \\ \text{بهنه با خطر نسیی خیلی زیاد}: \\ \text{خاک نوع ۲} \\ \text{ساختمان با اهمیت متوسط}: \end{aligned} \quad (1)$$

$$\left\{ \begin{array}{ll} B = ۱ + S(T/T_r) & ۰ \leq T \leq T_r \\ B = ۱ + S & T_r \leq T \leq T_s \\ B = (۱ + S)(T_s/T)^{۰,۵} & T \geq T_s \end{array} \right.$$

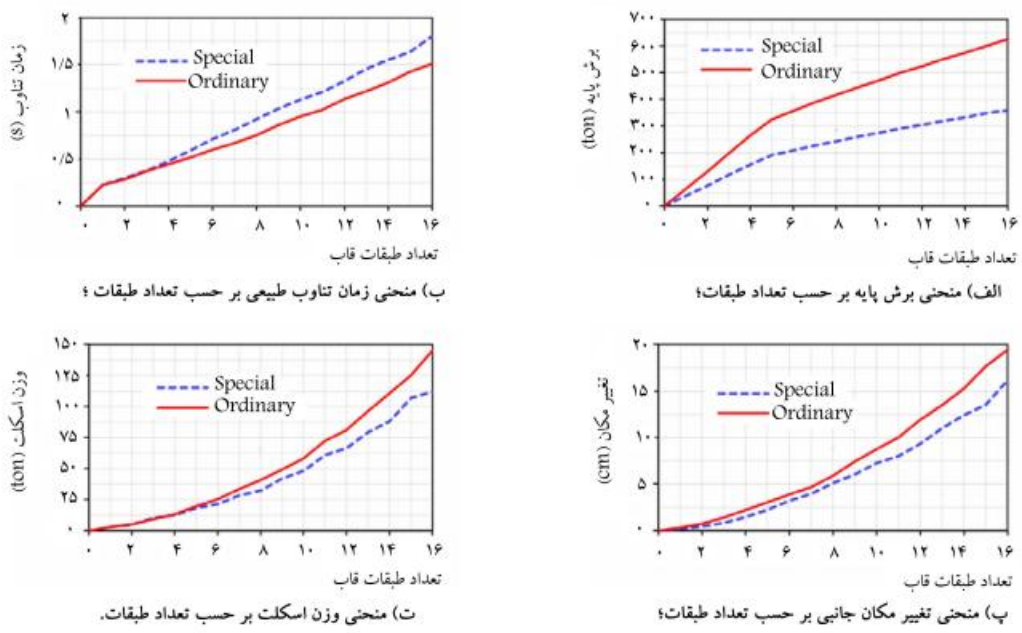
$$T = \min(1/25 \times ۰,۵ H^{۰,۷}, T_{analyse}) \quad \begin{aligned} \text{برای قاب های با مهاربندی های همگرای معمولی: } R = ۳/۲۵ \\ \text{برای قاب های با مهاربندی های همگرای ویژه: } R = ۵/۵ \end{aligned} \quad (2)$$

• تحلیل و طراحی قاب های به کمک نرم افزار ETABS و براساس روش ضرایب بار و مقاومت (LRFD) صورت گرفته است. [۱۹]

۱۶ قاب ساختمانی ساده توأم با مهاربندهای همگرای معمولی و به شکل ۷ و ۸ ترکیبی، براساس ضریب رفتار ۳/۲۵ و با رعایت الزامات تکمیلی عنوان شده در بخش ۲، طوری طراحی شده اند که نسبت ظرفیت به تقاضا در کلیه اعضا مساوی و یا



شکل ۱. قاب های ساختمانی ساده توأم با مهاربندهای همگرا و به شکل ۷ و ۸ ترکیبی.



شکل ۲. مقایسه‌ی برش پایه، زمان تناوب اصلی، تغییر مکان جانبی بیشینه و وزن اسکلت قاب‌های ساختمانی ساده توأم با مهاربندی‌های همگرای معمولی و ویژه و به شکل ۷ و ۸ ترکیبی.

همگرای ویژه همواره انعطاف‌پذیرتر از قاب‌های مهاربندی‌شده‌ی همگرای معمولی است. لازم به ذکر است که علی‌رغم انعطاف‌پذیری‌بودن قاب‌های مهاربندی‌شده‌ی همگرای ویژه نسبت به قاب‌های مهاربندی‌شده‌ی همگرای معمولی، تغییر مکان جانبی بیشینه‌ی قاب‌های مهاربندی‌شده‌ی همگرای ویژه همواره کمتر از تغییر مکان جانبی بیشینه‌ی قاب‌های مهاربندی‌شده‌ی همگرای معمولی است و دلیل آن تأثیرگذاری بیشتر افزایش برش پایه در قاب‌های مهاربندی‌شده‌ی همگرای معمولی است و دلیل آن تأثیرگذاری قاب‌های مهاربندی‌شده‌ی همگرای ویژه است.

بعد از ارزیابی برشی از پاسخ‌های کشسان قاب‌های مهاربندی‌شده‌ی ۷ و ۸ ترکیبی، حال این پرسشن مطرح است که کدامیک از سیستم‌های سازه‌یی قاب ساختمانی ساده توأم با مهاربندی‌های ۷ و ۸ ترکیبی معمولی و ویژه، شکل‌پذیری بیشنهادشده در آئینه‌های طراحی را بهتر تأمین می‌کنند. در بخش‌های بعدی این پژوهش به این موضوع پرداخته شده است.

۴. ضریب کاهش شکل‌پذیری

روش‌های محاسبه‌ی سازه‌های مقاوم در برآور زلزله با قبول این اصل که سازه در زلزله‌های شدید تحت اثر تنش‌ها و تغییر شکل‌های بالای حد کشسان قرار می‌گیرد، قابلیت تغییرشکلی را که در منطقه‌ی غیرکشسان وجود دارد، معیار شکل‌پذیری قرار داده‌اند و آن را با ضریب شکل‌پذیری R بیان می‌کنند، که بر حسب تعریف عبارت است از نسبت تغییرشکل بیشینه‌ی قابل استفاده (بدون خرابی) به تغییرشکل نظری تسليم یا جاری شدن (رابطه‌ی ۳):

$$\mu = \frac{\delta_u}{\delta_y} \quad (3)$$

در بیشتر آئینه‌های زلزله، ضریب R به عنوان ضریب رفتار ساختمان نامگذاری شده و در برگیرنده‌ی آثار عواملی از قبیل: درجه‌ی نامعینی، اضافه مقاومت موجود،

کوچکتر از ۱ باشد. رعایت ضابطه‌ی تکمیلی ارائه شده در بخش ۲ برای ۱۶ قاب مهاربندی‌شده‌ی ویژه مورد نظر؛ بدین طریق صورت گرفته است که پس از طراحی سازه براساس آئین نامه‌های بارگذاری زلزله با ضریب رفتار ۵/۵، ابتدا مهاربندی‌ها از مدل حذف و برای جلوگیری از ناپایداری سیستم، کف‌های سازه در برآور حرکت جانبی محدود شده‌اند. سپس با اعمال نیروهای لرزه‌یی ارائه شده در بخش ۲، در راستای امتداد مهاربندی‌ها، قاب‌ها در حضور بارهای ثقلی ضریب دار تحلیل و مورد طراحی مجدد قرار گرفته‌اند.^[۵] در شکل ۲، برش پایه، زمان تناوب اصلی، تغییر مکان جانبی بیشینه و وزن اسکلت این نوع قاب‌های مهاربندی‌شده، در دو سطح شکل‌پذیری معمولی و ویژه نمایش داده شده است.

همان‌گونه که از نمودارهای شکل ۲ مشاهده می‌شود، در قاب‌های مهاربندی‌شده‌ی معمولی، برش پایه حدوداً به نسبت ۵/۵ به ۳/۲۵ یعنی حدوداً ۱/۷ برش پایه در مهاربندی‌های ویژه است. اما این بدان معنا نیست که وزن اسکلت و تغییر مکان جانبی بیشینه نیز حدوداً به همین میزان با هم اختلاف خواهد داشت. زیرا در قاب‌های مهاربندی‌شده‌ی ویژه، رعایت الزامات تکمیلی لرزه‌یی سخت‌گیرانه‌تر، معادل افزایش هدف دار برش پایه است.

مطابق نمودارهای شکل ۲، تأمین الزامات لرزه‌یی سخت‌گیرانه‌تر در قاب‌های مهاربندی‌شده‌ی ویژه موجب شده است که وزن اسکلت و تغییر مکان جانبی بیشینه از وزن اسکلت و تغییر مکان جانبی بیشینه‌ی قاب‌های مهاربندی‌شده‌ی معمولی فراتر رود. به عبارت دیگر، می‌توان گفت که در قاب‌های مهاربندی‌شده‌ی ویژه، وزن اسکلت و تغییر مکان جانبی بیشینه، همواره کوچکتر از وزن اسکلت و تغییر مکان جانبی بیشینه‌ی قاب‌های مهاربندی‌شده‌ی معمولی است. مطابق نمودار شکل ۲، این اختلاف در قاب‌های کوتاه‌مرتبه بسیار کم، ولی در قاب‌های بلند مرتبه بیشتر می‌شود، به طوری که در قاب ۱۶ طبقه میزان صرفه‌جویی به حدود ۲۹٪ می‌رسد. نکته‌ی دیگری که از نمودارهای شکل ۲ مشاهده می‌شود، این است که زمان تناوب اصلی قاب‌های مهاربندی‌شده‌ی ویژه همواره بزرگتر از زمان تناوب طبیعی قاب‌های مهاربندی‌شده‌ی معمولی است. به عبارت دیگر، قاب‌های مهاربندی‌شده‌ی

براساس آئین نامه‌ی FIMA [۱۰] روش تحلیل استاتیکی غیرخطی یا پوش اوریکی از روش‌های قابل قبول برای برآورد میزان ضریب کاهش شکل‌پذیری است. براساس روش ذکر شده، پژوهشگران مختلف روابط مختلفی را برای برآورد میزان ضریب کاهش شکل‌پذیری ارائه کرده‌اند، که در اینجا به چند نمونه از آنها پرداخته شده است:

- روش مبتنی بر مفهوم تساوی تغییرمکان‌ها و مفهوم تساوی سطح زیر منحنی نیرو - تغییرمکان: [۱۱] براساس این روش سیستم‌های سازه‌یی که زمان تناوب طبیعی بزرگی دارند (مثلاً بیش از ۱ ثانیه)، تغییرمکان بیشینه نظر حالت کشسان فرضی و تغییرمکان بیشینه نظر حالت غیرکشسان (که برابر است با کوچکترین مقدار تغییرمکان نظر تشكیل مکانیزم و تغییرمکان هدف) اختلاف اندکی با هم دارند و برای این‌گونه سیستم‌های سازه‌یی براساس این روش، ضریب کاهش شکل‌پذیری از رابطه‌ی [۹] تعیین می‌شود:

$$R_\mu = \mu \quad (9)$$

همچنین براساس این روش سیستم‌های سازه‌یی که زمان تناوب طبیعی نسبتاً کوچکی دارند (مثلاً کوچکتر از ۵٪ ثانیه)، براساس تساوی سطح زیر منحنی نیرو - تغییرشکل در حالت‌های کشسان فرضی و غیرکشسان و با فرض رفتار ایده‌آل کشسان خمیری کامل، از رابطه‌ی [۱۰] تعیین می‌شود:

$$R_\mu = \sqrt{2\mu - 1} \quad (10)$$

- روش نیومارک و هال: [۱۲] فلسفه‌ی اصلی این روش بسیار مشابه با فلسفه‌ی روش مبتنی بر مفهوم تساوی تغییرمکان‌ها و مفهوم تساوی سطح زیر منحنی نیرو - تغییرمکان است، با این تفاوت که برای زمان‌های تناوب طبیعی متوسط (حدوداً بین ۵٪ تا ۱۰٪ ثانیه) روابط مفصل‌تری ارائه شده است. با توجه به اینکه در این نوشته از این روش استفاده نشده است، لذا از ذکر سایر جزئیات آن خوداری شده است.

- روش میراندا و برترو: [۱۳] مطابق این روش، ضریب کاهش شکل‌پذیری از رابطه‌ی [۱۱] تعیین می‌شود:

$$R_\mu = \frac{\mu - 1}{\Phi} + 1 \geq 1 \quad (11)$$

که در آن، ضریب Φ برای زمین‌هایی مشابه با زمین نوع دو استاندارد ۲۸۰۰ و ایران از رابطه‌ی [۱۲] تعیین می‌شود:

$$\Phi = 1 + \frac{1}{12T - \mu T} - \frac{2}{5T} e^{-\left(\ln(T) - 10\right)^2} \quad (12)$$

که در آن، T_g زمان تناوب غالب زلزله است. مطابق آئین نامه‌ی FEMA ۳۵۶ برای برآورد R_μ باید تغییرمکان هدف محاسبه و براساس آن منحنی ظرفیت دوخطی شود و براساس پارامترهای بدست آمده از منحنی دوخطی ضریب R_μ محاسبه شود. براساس تعریف، تغییرمکان هدف بیشینه، تغییرمکان جانبی است که ممکن است ساختمان طی یک زلزله تجربه کند. مطابق آئین نامه‌ی FEMA ۳۵۶، تغییرمکان هدف ساختمان‌های طراحی شده و یا مقاوم‌سازی شده از رابطه‌ی [۱۳] تعیین می‌شود: [۱۴]

$$\delta_t = C \cdot C_s S_a \frac{T_g^2}{4\pi^2} g \quad (13)$$

و شکل‌پذیری در سازه است. تأثیر این عوامل در پاسخ عمومی سازه به همراه پاسخ کشسان فرضی به طور ترسیمی در شکل ۳ برای سازه‌هایی که براساس روش‌های حدی نهایی طراحی می‌شوند، نمایش داده شده است. مطابق شکل ۳، ضریب رفتار از رابطه‌ی [۴] تعیین می‌شود:

$$R = \Omega R_\mu \quad (4)$$

که در آن، Ω ضریب اضافه مقاومت و عبارت از نسبت نیروی متناظر با حد تسلیم کلی سازه در هنگام تشکیل مکانیزم (یا نیرویی متناظر با تغییرمکان هدف) به نیروی متناظر با تشکیل اولین مفصل خمیری است، که از رابطه‌ی [۵] بدست می‌آید:

$$\Omega = \frac{V_y}{V_s} \quad (5)$$

این ضریب به عوامل گوناگونی از قبیل درجات نامعینی سازه و امکان بازهشنس نیروهای داخلی اعضاء، مقاومت‌های بالاتر از حد مشخص شده مصالح مصرفی، محدودیت‌های آئین نامه‌یی بر روی تغییرمکان‌ها، ضوابط کمینه‌ی آئین نامه‌یی برای ابعاد و جزئیات قطعات، آثار اجزاء غیرسازه‌یی و غیره دارد. در مبحث دهم مقررات ملی ساختمان و نیز در آئین نامه‌ی ASCE ۷، مقدار Ω برای قاب‌های ساختمانی ساده‌ی توأم با مهاربندهای همگرا برابر ۲ فرض شده است.

همچنین در رابطه‌ی [۴] R_μ ضریب کاهش شکل‌پذیری است. مطابق شکل ۳، ضریب کاهش شکل‌پذیری عبارت از نسبت نیروی نهایی وارد بر سازه، در صورتی که رفتار سازه کشسان فرض شود، به نیروی متناظر با حد تسلیم کلی سازه در هنگام تشکیل مکانیزم (یا نیرویی متناظر با تغییرمکان هدف) است و از رابطه‌ی [۶] محاسبه می‌شود:

$$R_\mu = \frac{V_e}{V_y} \quad (6)$$

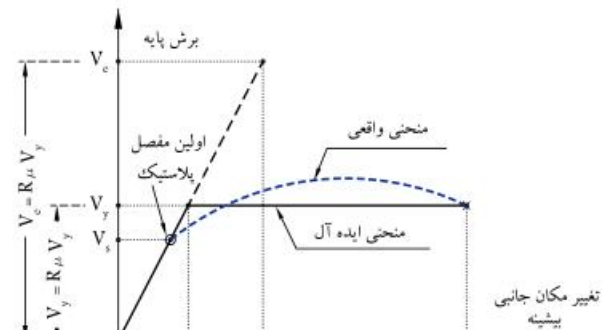
در صورتی که ضریب اضافه مقاومت قاب‌های ساختمانی ساده‌ی توأم با مهاربندهای همگرا برابر ۲ فرض شود، میزان کمینه‌ی ضریب کاهش شکل‌پذیری موردنیاز در این نوع قاب‌های ساختمانی از این روابط تعیین می‌شود:

(الف) برای قاب‌های توأم با مهاربندهای همگرا معمولی (رابطه‌ی [۷]):

$$R = ۳,۲۵ \Rightarrow R_\mu \geq \frac{۳,۲۵}{۲} \Rightarrow R_\mu \geq ۱,۶۲۵ \quad (7)$$

(ب) برای قاب‌های توأم با مهاربندهای همگرا ویژه (رابطه‌ی [۸]):

$$R = ۵,۵ \Rightarrow R_\mu \geq \frac{۵,۵}{۲} \Rightarrow R_\mu \geq ۲,۷۵ \quad (8)$$



شکل ۳. پاسخ غیرکشسان و پاسخ کشسان فرضی.

سازه است که از نقطه‌یی به مختصات $(V_{\text{u}}, \delta_{\text{u}})$ و نقطه‌یی روی خط اول چنان ترسیم می‌شود که سطح زیر مدل رفتار دوخطی برای سطح زیر منحنی غیرخطی تا نقطه‌ی $(V_{\text{u}}, \delta_{\text{u}})$ باشد. نقطه‌ی $(V_{\text{u}}, \delta_{\text{u}})$ روی منحنی ظرفیت سازه در تغییرمکان هدف یا تغییرمکان نظری تشکیل مکانیزم، هر کدام که کمتر باشد، قرار دارد.

اگرچه ظاهراً به نظر می‌رسد که دوخطی کردن منحنی ظرفیت باید براساس روش آزمون و خط صورت پذیرد، لیکن به دلیل آنکه در حد فاصل دو مفصل خمیری در سازه، رفتار سازه خطی فرض می‌شود؛ لذا می‌توان از حل پسته، مقادیر δ_{u} و V_{u} و تیجناً شکل منحنی را تعیین کرد. در این پژوهش این عملیات از طریق تهیی می‌یک نرم‌افزار سه‌بعدی ساده صورت گرفته است.

یکی از گام‌های مهم دیگر در تحلیل پوش اور اختصاص رابطه‌ی نیرو-تغییرشکل به اعضا سازه است. اساساً رفتار غیرکشسان هر عضو و یا رابطه‌ی نیرو-تغییرشکل باید از طریق نتایج آزمایشگاهی تعیین شود، لیکن در آینه‌نامه ۳۵۶ قید شده است که به جای انجام مطالعات آزمایشگاهی می‌توان از روابط معیار پذیرش اینستی جانی برای تعیین ظرفیت تغییرشکل اعضا استفاده کرد. در این پژوهش برای مدل‌سازی رابطه‌ی غیرکشسان نیرو-تغییرشکل از روابط مندرج در FEMA ۳۵۶ استفاده شده است.

نحوه مدل‌سازی رابطه‌ی غیرکشسان نیرو-تغییرشکل در نرم‌افزارها بدین‌گونه است که فرض می‌شود تغییرشکل غیرکشسان اعضا در مفاصل خمیری مرکز منحنی شوند و رفتار سایر نقاط اعضا، کشسان باقی می‌مانند. در اعضا خشنی (نظری تیرها و ستون‌ها)، مفاصل خمیری عموماً به ابتدا و انتهای عضو و یا به محل هایی که نیروهای مرکز اعمال می‌شوند، اختصاص داده می‌شوند که می‌تواند از نوع V - M و اندرکشن P - M باشد. در اعضا محوری نظری مهاربندها و نیز ستون‌هایی که رفتار محوری دارند، این مفاصل خمیری می‌تواند از نوع P اختیار شود و به وسط اعضا اختصاص یابد.

در خصوص اختصاص مفاصل خمیری از نوع P باید به این نکته توجه کرد که اعضا فشاری تحت بارگذاری چرخه‌یی رفتار نامتقارن، شامل کاهش مقاومت در فشار و افزایش تغییرشکل ماندگار در کشش از خود نشان می‌دهند. به عبارت دیگر، رفتار نیرو-تغییرشکل یک عضو فشاری به نیروی کششی حد جاری شدن، نیروی فشاری کمانشی و نیروی فشاری پس‌ماند پس از کماش آن وابسته است. در این پژوهش برای مدل‌سازی کمانش مهاربندهای فشاری مطابق دستورالعمل بهسازی FEMA ۳۵۶، نیروی پس‌ماند در حدود ۲۰٪ نیروی کمانش آنها فرض شده و با توجه به قابلیت نرم‌افزار مورد استفاده در این پژوهش، منحنی رفتاری آنها بر این اساس تنظیم شده است.

در ابتدای این بخش به روش‌های مختلف محاسبه‌ی ضربی کاهش شکل پذیری پرداخته شده است. هر کدام از این روش‌ها، معایب و مزایای دارند. به عنوان مثال، رابطه‌ی δ برای سازه‌هایی قابل کاربرد است که زمان تناوب بیش از یک ثانیه دارد. همچنین رابطه‌ی δ برای سازه‌هایی قابل کاربرد است که زمان تناوب کمتر از $0.5/\sqrt{\delta}$ ثانیه دارد. از آنجایی که زمان تناوب سازه‌های مورد بررسی در این پژوهش اکثراً بین ۰.۵ تا یک ثانیه هستند، لذا محاسبه‌ی ضربی کاهش شکل پذیری این سازه‌ها با استفاده از روابط δ و 10° توصیه نمی‌شود.

امروزه محاسبه‌ی ضربی کاهش شکل پذیری براساس هر کدام از روش‌های «نیومارک و هال» و «میراندا و برترو» مورد تأیید متخصصان است. لیکن به دلیل برخورداری روش «میراندا و برترو» از اقبال عمومی بیشتر نزد پژوهشگران، در این پژوهش برای محاسبه‌ی ضربی کاهش شکل پذیری از روش «میراندا و برترو» استفاده شده است.

که در آن، C : ضربی اصلاح برای ارتباط تغییرمکان طیفی سیستم یک درجه آزادی به تغییرمکان بام سیستم چند درجه آزادی است و از رابطه‌ی 14 محاسبه می‌شود:

$$C = \frac{\sum_{i=1}^n W_i \phi_{1,i}}{\sum_{i=1}^n W_i \phi_{1,i}^2} \quad (14)$$

که در آن، W_i وزن مؤثر لرزه‌ی i ، $\phi_{1,i}$ مؤلفه‌ی بردار شکل مد اول در تراز δ و ضربی اصلاح برای تبدیل تغییرمکان‌های محاسبه شده از پاسخ کشسان به پیشنهاد تغییرمکان‌های غیرکشسان مورد انتظار سازه است. این ضربی از روابط 15 و 16 محاسبه می‌شود:

$$T_e \geq T_s \Rightarrow C_1 = 1 \quad (15)$$

$$T_e < T_s \Rightarrow C_1 = [1 + (R_d - 1)T_s/T_e]/R_d \quad (16)$$

که در آن، T_e زمان تناوب مؤثر ساختمان مطابق رابطه‌ی 17 است:

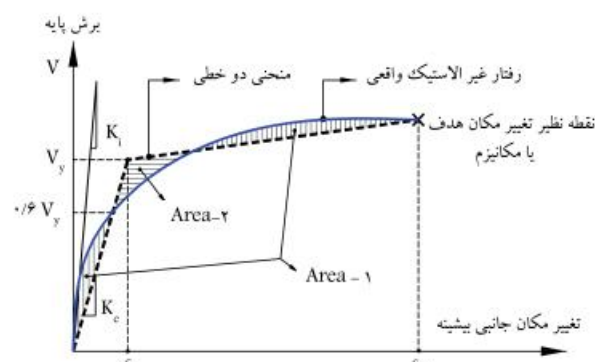
$$T_e = T_i \sqrt{\frac{K_i}{K_e}} \quad (17)$$

که در آن، T_i : زمان تناوب اصلی کشسان؛ K_i : شب خط مماس بر منحنی ظرفیت در مبدأ (سختی جانی کشسان سازه)؛ K_e : سختی جانی مؤثر سازه؛ T_p : پارامتر نوع خاک؛ و R_d : نسبت مقاومت و از رابطه‌ی 18 تعیین می‌شود:

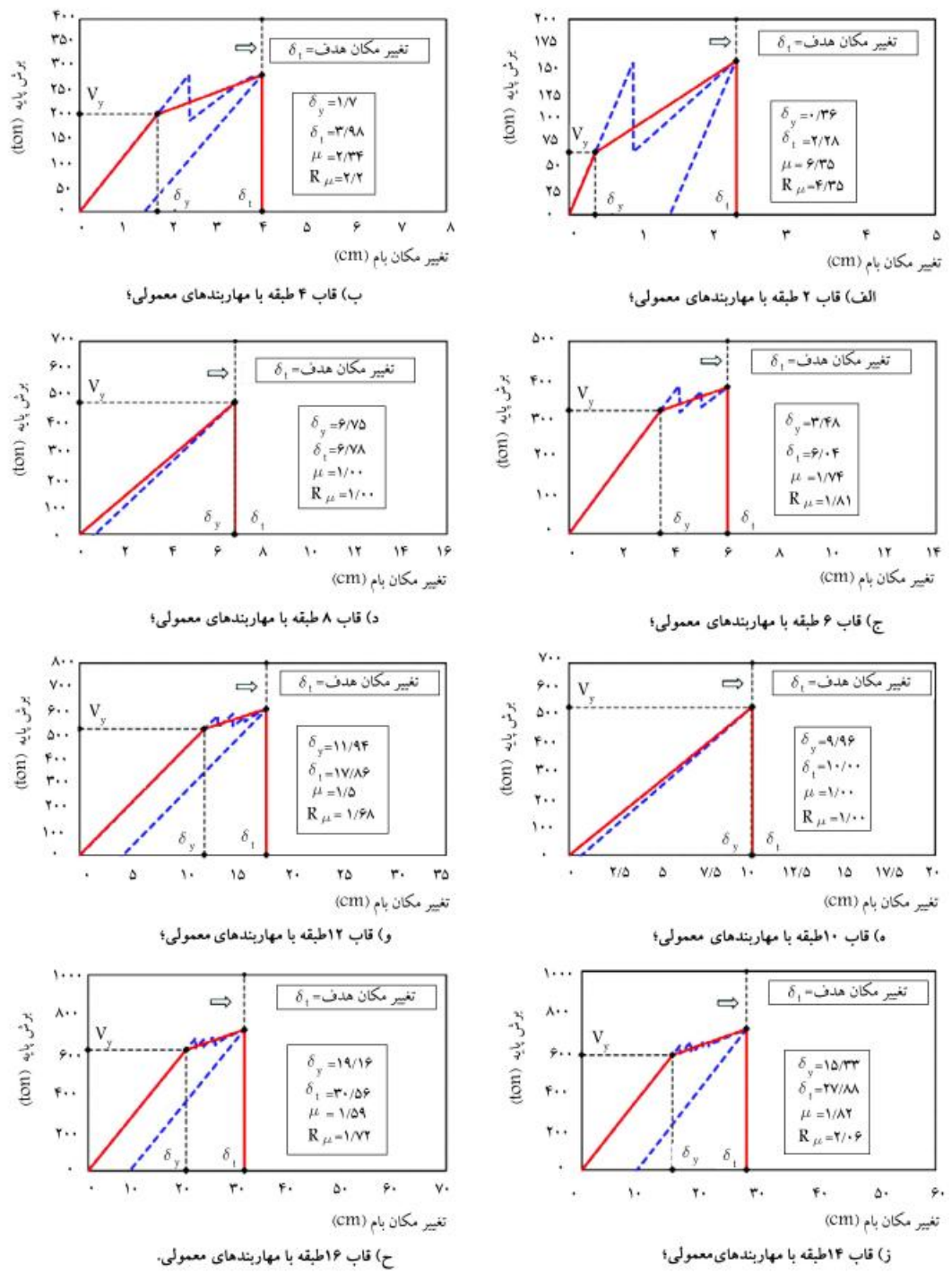
$$R_d = \frac{S_a W}{V_y} \quad (18)$$

که در آن، S_a : شتاب طیفی به ازاء زمان تناوب اصلی مؤثر؛ W : وزن مؤثر لرزه‌یی است.

برای محاسبه‌ی تغییرمکان هدف با استفاده از رابطه‌ی 13 ، منحنی ظرفیت (منحنی برش پایه - تغییرمکان جانی) باید تبدیل به منحنی دوخطی شود. تا برش پایه‌یی جاری شدن مؤثر سازه (V_y) و تغییرمکان نظری آن (δ_y) تعیین و از این مقادیر برای محاسبه‌ی زمان تناوب مؤثر (T_e) استفاده شود. دوخطی کردن منحنی ظرفیت مطابق شکل 4 ، به نحوی صورت می‌پذیرد که خط اول از نقطه‌ی شروع با شبیه‌ی برش پایه‌یی نظری (K_e) رسم می‌شود. سختی جانی مؤثر برای سختی سکانت محاسبه شده در برش پایه‌یی نظری 60% برش پایه‌یی جاری شدن مؤثر سازه (V_y) است. برش پایه‌یی جاری شدن مؤثر سازه (V_y) باید از پیشنهادی برش پایه در نقاط مختلف ظرفیت بیشتر باشد. خط دوم، نماینده‌ی شبیه مثبت بعد از جاری شدن



شکل ۴. نحوه دوخطی کردن منحنی ظرفیت.



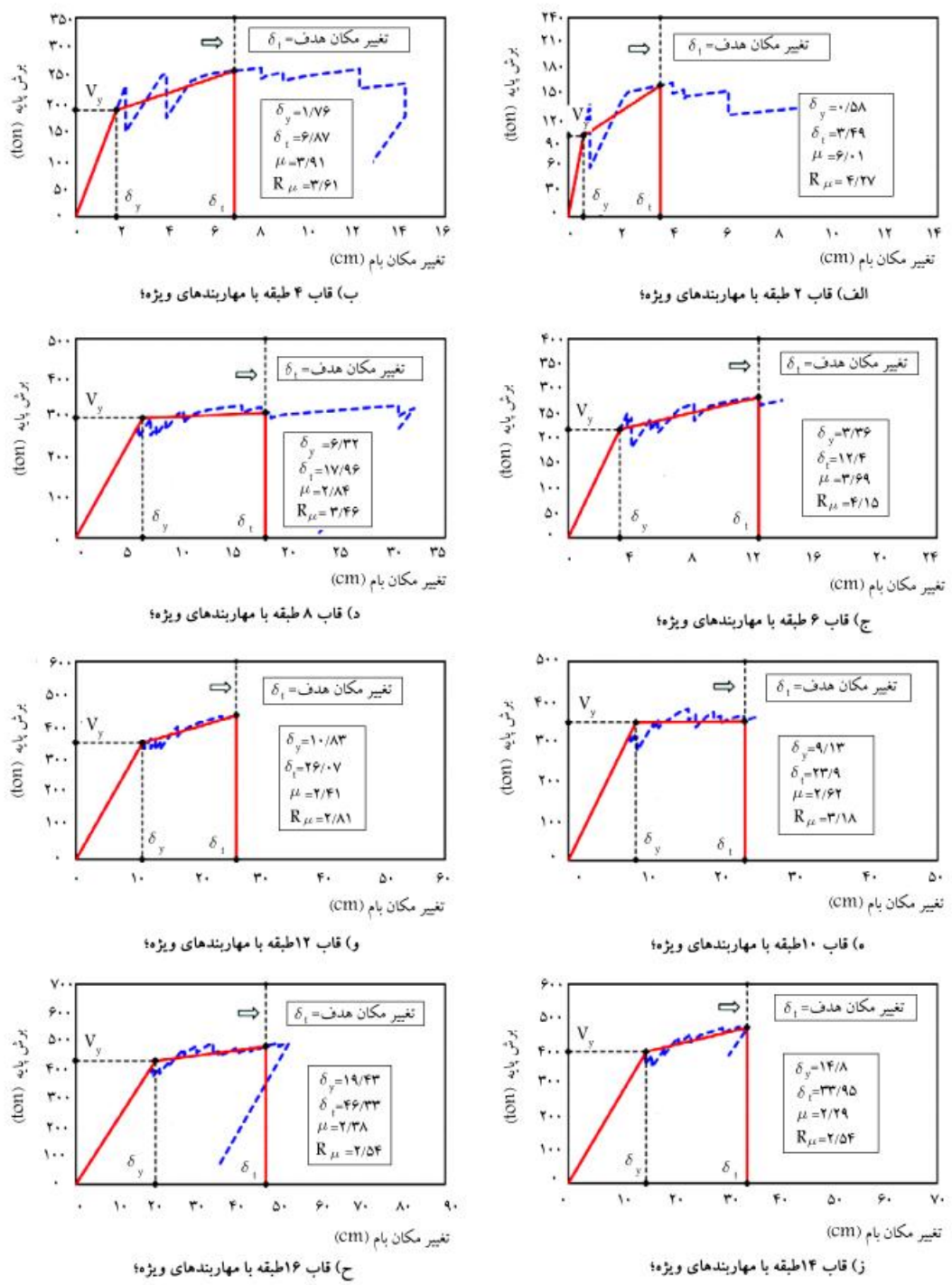
شکل ۵. منحنی ظرفیت ۸ قاب ساختمانی ساده توانم با مهاربندهای معمولی و ۷ و ۸ ترکیبی.

ممولی از ۱ تا ۱۶ طبقه و ۱۶ تای دیگر آنها مربوط به قاب‌های مهاربندی شده‌ی همگرای ویژه از ۱ تا ۱۶ طبقه است. در جدول ۱، پارامترهای مربوط به منحنی‌های ظرفیت در شکل ۵، منحنی‌های ظرفیت ۱۶ قاب مهاربندی شده‌ی همگرای معمولی نمایش داده شده است. همچنین در جدول ۲، پارامترهای مربوط به منحنی‌های ظرفیت و در شکل ۶، منحنی‌های ظرفیت ۱۶ قاب مهاربندی شده‌ی همگرای ویژه نمایش داده شده است.

۵. تحلیل پوش اور و محاسبه ضریب کاهش

شکل پذیری قاب‌های مورد مطالعه

در این پژوهش جمعباً ۳۲ قاب ساختمانی ساده توانم با مهاربندهای همگرای به صورت ۷ و ۸ ترکیبی، مورد تحلیل و طراحی و نهایتاً تحلیل استاتیکی غیرخطی (پوش اور) شده‌اند. ازین ۳۲ قاب، ۱۶ تای آنها مربوط به قاب‌های مهاربندی شده‌ی همگرای



شکل ۶. منحنی ظرفیت ۸ قاب ساختمانی ساده توازن با مهاربندهای ویژه و ۷ و ۸ ترکیبی.

همانگونه که از شکل ۷ مشاهده می‌شود، در اینگونه سیستم‌های سازه‌ی برای قاب‌های مهاربندی شده تا ۵ طبقه ضریب کاهش شکل‌بندیری موجود از ضریب کاهش شکل‌بندیری مورد نیاز ($1,625 = 3,25/2$) بیشتر است و برای قاب‌های تا ۵ طبقه از منظر شکل‌بندیری موردنیاز ضعف عمدت‌بیی مشاهده نشده است و این موضوع محدودیت ذکر شده در آئین‌نامه‌های طراحی برای پیشینه‌ی ارتفاع این‌گونه سیستم‌های سازه‌ی را (که حدوداً ۱۰/۷ متر است)، کاملاً توجیح می‌کند.

۶. بحث و بررسی

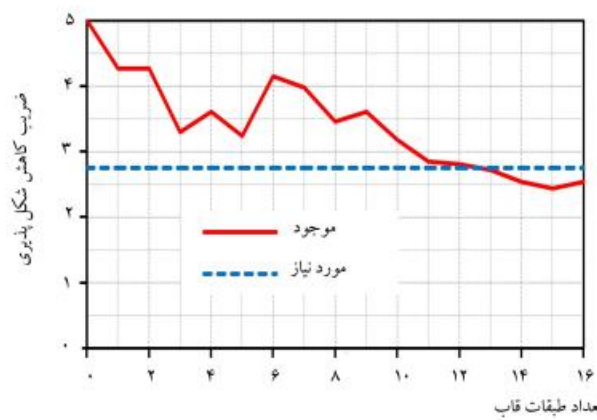
۶.۱. قاب‌های ساختمانی ساده توازن با مهاربندهای همگرای معمولی و به شکل ۷ و ۸ ترکیبی
 مطابق مقادیر جدول ۱، ضریب کاهش شکل‌بندیری ۱۶ قاب مهاربندی شده‌ی همگرای معمولی و به صورت ۷ و ۸ ترکیبی از ۱/۰ تا حدوداً ۴/۳۵ متغیر است.

جدول ۱. پارامترهای مربوط به منحنی ظرفیت ۱۶ قاب مهاربندی شده هیگرای معمولی و به شکل ۷ و ۸ ترکیبی.

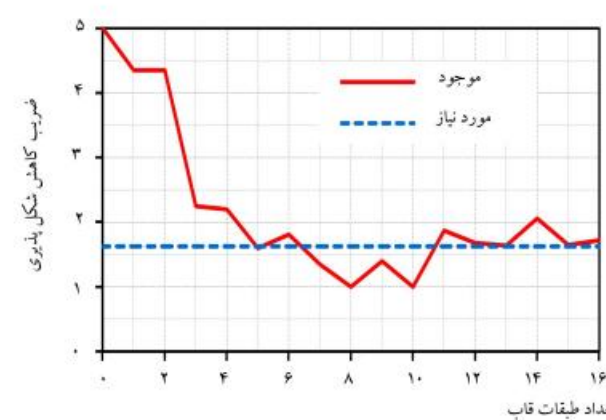
R_μ (Miranda)	Φ	μ	V_u (ton)	V_y (ton)	δ_y (cm)	δ_t (cm)	S_a	C_1	C_o	T_e (s)	تعداد طبقات قاب
۳۸,۲۴	۰,۷۰	۲۷,۱۱	۹۲,۳	۱۶,۶۶	۰,۰۹	۲,۳۵	۰,۸۷۵	۲,۱۲	۱,۰۰	۰,۲۲۶	۱
۴,۳۵	۱,۶۰	۶,۳۵	۱۵۷,۴	۶۳,۷	۰,۳۶	۲,۲۸	۰,۸۷۵	۱,۶۳	۱,۲۰	۰,۲۸۷	۲
۲,۲۵	۱,۲۲	۲,۵۲	۲۰۵,۳	۱۵۲,۹	۱,۰۸	۲,۷۴	۰,۸۷۵	۱,۲۷	۱,۲۹	۰,۳۷۰	۳
۲,۲۰	۱,۱۱	۲,۳۴	۲۸۳,۹	۲۰۲,۷	۱,۷۰	۲,۹۸	۰,۸۷۵	۱,۰۹	۱,۳۵	۰,۴۴۷	۴
۱,۶۰	۱,۰۱	۱,۶۱	۳۲۴,۰	۲۹۲,۶	۲,۷۴	۴,۴۳	۰,۸۵۷	۱,۰۰	۱,۳۹	۰,۵۱۶	۵
۱,۸۱	۰,۹۲	۱,۷۴	۲۸۰,۱	۳۱۹,۷	۳,۴۸	۶,۰۴	۰,۷۷۴	۱,۰۰	۱,۴۲	۰,۶۰۱	۶
۱,۳۵	۰,۸۵	۱,۳۰	۴۱۱,۰	۳۹۷,۵	۴,۸۰	۶,۲۶	۰,۷۱۹	۱,۰۰	۱,۴۵	۰,۶۷۱	۷
۱,۰۰	۰,۷۹	۱,۰۰	۴۸۰,۲	۴۷۸,۳	۶,۷۵	۶,۷۸	۰,۶۶۵	۱,۰۰	۱,۴۷	۰,۷۵۴	۸
۱,۴۰	۰,۷۵	۱,۳۰	۴۷۰,۶	۴۶۱,۰	۷,۶۴	۹,۹۰	۰,۶۱۰	۱,۰۰	۱,۴۹	۰,۸۵۹	۹
۱,۰۰	۰,۷۲	۱,۰۰	۵۴۰,۱	۵۳۸,۰	۹,۹۶	۱۰,۰۰	۰,۵۷۰	۱,۰۰	۱,۵۰	۱,۹۵۰	۱۰
۱,۸۷	۰,۷۳	۱,۶۳	۵۸۱,۶	۴۸۵,۰	۹,۶۸	۱۵,۷۵	۰,۵۴۳	۱,۰۰	۱,۵۱	۱,۰۲۳	۱۱
۱,۶۸	۰,۷۴	۱,۵۰	۶۰۷,۲	۵۲۵,۱	۱۱,۹۴	۱۷,۸۶	۰,۵۰۶	۱,۰۰	۱,۵۲	۱,۱۳۷	۱۲
۱,۶۴	۰,۷۵	۱,۴۸	۶۴۶,۰	۵۵۱,۷	۱۳,۵۲	۲۰,۰۱	۰,۴۸۳	۱,۰۰	۱,۵۳	۱,۲۲۱	۱۳
۲,۰۶	۰,۷۷	۱,۸۲	۷۰۸,۴	۵۷۷,۶	۱۵,۳۳	۲۷,۸۸	۰,۴۶۰	۱,۰۰	۱,۵۴	۱,۳۱۲	۱۴
۱,۶۵	۰,۸۰	۱,۵۲	۶۷۱,۷	۶۳۱,۰	۱۸,۵۶	۲۸,۲۸	۰,۴۳۵	۱,۰۰	۱,۵۵	۱,۴۲۷	۱۵
۱,۷۲	۰,۸۲	۱,۵۹	۷۱۹,۵	۶۱۶,۶	۱۹,۱۶	۳۰,۵۶	۰,۴۱۹	۱,۰۰	۱,۵۵	۱,۵۱۱	۱۶

جدول ۲. پارامترهای مربوط به منحنی ظرفیت ۱۶ قاب مهاربندی شده هیگرای ویژه و به صورت ۷ و ۸ ترکیبی.

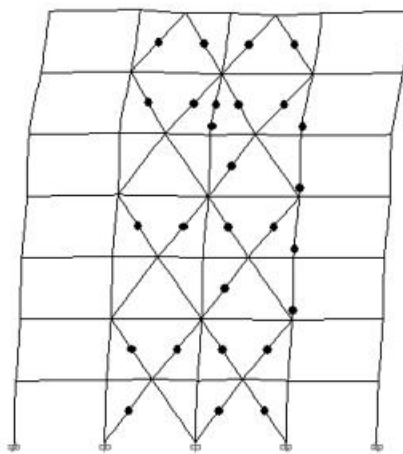
R_μ (Miranda)	Φ	μ	V_u (ton)	V_y (ton)	δ_y (cm)	δ_t (cm)	S_a	C_1	C_o	T_e (s)	تعداد طبقات قاب
۳۸,۲۴	۰,۷۰	۲۷,۱۱	۹۲,۳	۱۶,۶۶	۰,۰۹	۲,۳۵	۰,۸۷۵	۲,۱۲	۱,۰۰	۰,۲۲۶	۱
۴,۲۷	۱,۵۳	۶,۰۱	۱۵۸,۳	۹۷,۵	۰,۵۸	۳,۴۹	۰,۸۷۵	۱,۵۲	۱,۱۸	۰,۲۹۹	۲
۳,۳۰	۱,۲۶	۳,۸۹	۲۲۹,۱	۱۷۳,۷	۱,۲۶	۴,۸۹	۰,۸۷۵	۱,۲۴	۱,۲۷	۰,۳۷۸	۳
۳,۶۱	۱,۱۱	۳,۹۱	۲۵۶,۴	۱۸۷,۵	۱,۷۶	۶,۸۷	۰,۸۷۵	۱,۰۴	۱,۳۳	۰,۴۷۸	۴
۳,۲۴	۰,۹۵	۳,۱۴	۲۴۸,۸	۲۴۸,۷	۲,۹۴	۹,۲۶	۰,۷۸۲	۱,۰۰	۱,۳۶	۰,۵۹۲	۵
۴,۱۵	۰,۸۵	۳,۶۹	۲۸۲,۶	۲۱۸,۰	۳,۳۶	۱۲,۴۰	۰,۶۹۱	۱,۰۰	۱,۴۲	۰,۷۱۳	۶
۳,۹۸	۰,۷۹	۳,۳۶	۲۳۲,۰	۲۵۵,۲	۴,۴۵	۱۴,۹۴	۰,۶۳۵	۱,۰۰	۱,۴۵	۰,۸۰۸	۷
۳,۴۶	۰,۷۵	۲,۸۴	۳۱۴,۱	۳۰۰,۹	۶,۳۲	۱۷,۹۶	۰,۵۸۱	۱,۰۰	۱,۴۶	۰,۹۲۳	۸
۳,۶۱	۰,۷۴	۲,۹۳	۳۲۴,۵	۳۰۵,۴	۷,۰۹	۲۰,۷۶	۰,۵۳۹	۱,۰۰	۱,۴۵	۱,۰۳۴	۹
۳,۱۸	۰,۷۴	۲,۶۲	۳۴۹,۶	۳۴۶,۰	۹,۱۳	۲۲,۹۰	۰,۵۰۸	۱,۰۰	۱,۴۸	۱,۱۳۱	۱۰
۲,۸۵	۰,۷۶	۲,۴۰	۴۰۵,۲	۳۹۹,۱	۱۰,۹۵	۲۶,۳۳	۰,۴۸۵	۱,۰۰	۱,۴۹	۱,۲۱۱	۱۱
۲,۸۱	۰,۷۸	۲,۴۱	۴۲۶,۳	۳۵۳,۲	۱۰,۸۳	۲۶,۰۷	۰,۴۵۷	۱,۰۰	۱,۵۰	۱,۳۲۶	۱۲
۲,۷۲	۰,۸۱	۲,۴۰	۴۴۱,۹	۳۹۳,۲	۱۳,۵۰	۳۲,۴۰	۰,۴۲۹	۱,۰۰	۱,۵۱	۱,۴۵۶	۱۳
۲,۵۴	۰,۸۴	۲,۲۹	۴۶۸,۸	۳۹۶,۴	۱۴,۸۰	۳۳,۹۵	۰,۴۱۱	۱,۰۰	۱,۵۲	۱,۵۵۲	۱۴
۲,۴۴	۰,۸۶	۲,۲۳	۵۱۳,۸	۴۶۶,۶	۱۸,۱۰	۴۰,۴۵	۰,۳۹۷	۱,۰۰	۱,۵۳	۱,۶۳۷	۱۵
۲,۵۴	۰,۸۹	۲,۳۸	۴۸۱,۵	۴۳۲,۲	۱۹,۴۳	۴۶,۳۳	۰,۳۷۲	۱,۰۰	۱,۵۴	۱,۸۰۴	۱۶



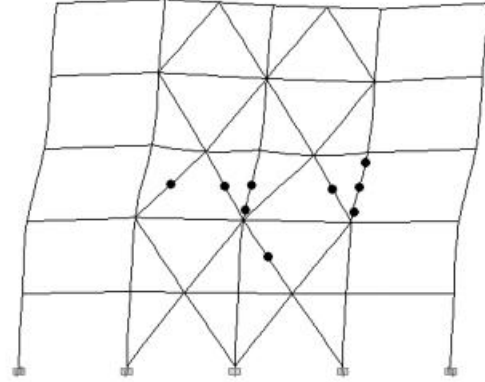
شکل ۹. مقایسه‌ی ضریب کاهش شکل‌پذیری موجود با ضریب کاهش شکل‌پذیری موردنیاز ۱۶ قاب مهاربندی شده‌ی همگرای ویژه.



شکل ۷. مقایسه‌ی ضریب کاهش شکل‌پذیری موجود با ضریب کاهش شکل‌پذیری موردنیاز ۱۶ قاب مهاربندی شده‌ی معمولی.



شکل ۱۰. مکانیزم خرابی قاب مهاربندی شده‌ی ویژه ۷ طبقه و با مهاربندهای به صورت ۷ و ۸ ترکیبی.



شکل ۸. مکانیزم خرابی قاب مهاربندی شده‌ی معمولی ۵ طبقه و با مهاربندهای به صورت ۷ و ۸ ترکیبی.

استاندارد ۲۸۰۰ ایران موردنظر باشد ($R_{\mu} \geq 5/2 = 2,75$) تا از این قاب‌های مهاربندی شده، شکل‌پذیری موردنیاز را تأمین نکرده‌اند. با توجه به اینکه این نوع قاب‌ها براساس ظرفیت محوری مهاربندها طراحی شده‌اند، برای قاب‌های زیر ۱۰ طبقه، هم ضریب کاهش شکل‌پذیری به نحو مناسبی تأمین می‌شود و هم مکانیزم خرابی آنها (که یک تونه از آنها در شکل ۱۰ نمایش داده شده است) نسبت به مهاربندهای با شکل‌پذیری معمولی بهبود یافته است.

بنابراین می‌توان گفت که ضریب رفتار پیشنهادشده در پیش‌نویس ویرایش چهارم استاندارد ۲۸۰۰ ایران برای قاب‌های مهاربندی شده‌ی ویژه منطقی تراز مقدار پیشنهادشده در آئین نامه ASCE ۷ است. زیرا در قاب‌های بالاتر از حدود ۱۰ طبقه، شکل‌پذیری موردنظر آئین نامه ASCE ۷ تأمین نمی‌شود.

ضرایب کاهش شکل‌پذیری به دست‌آمده از این پژوهش برای ۱۶ قاب ساختمانی ساده‌ی توازن با مهاربندهای ویژه و به شکل ۷ و ۸ ترکیبی به صورت ۷ و ۸ ترکیبی مطابق می‌باشد. مطابق شکل ۹، در صورتی‌که ارزیابی ضریب کاهش شکل‌پذیری موردنیاز مطابق آئین نامه ASCE ۷ منظور باشد ($R_{\mu} \geq 6,2 = 3$) تا از این قاب، شکل‌پذیری موردنیاز را تأمین نکرده است. البته چون این قاب‌ها براساس $R = 5/5$ طراحی شده‌اند، ممکن است وضع از این نیز بدتر شود. اما اگر ارزیابی شکل‌پذیری موردنیاز این نوع قاب‌ها مطابق پیش‌نویس ویرایش چهارم

ضعف عمدی مشاهده شده در این‌گونه قاب‌های ساختمانی این بود که مطابق منحنی‌های ظرفیت نشان داده شده در شکل ۵، بیشتر این نوع قاب‌های مهاربندی شده نمی‌توانند تغییر مکان هدف موردنظر آئین نامه‌ها را تجربه کنند و مشابه مکانیزم خرابی نشان داده شده در شکل ۸ برای قاب ۵ طبقه، قبل از رسیدن به تغییر مکان هدف، سازه به حالت مکانیزم آنی می‌رسد و فرو می‌ریزد. ولی با وجود این، به دلیل بالاتر بودن سطح مقاومت طراحی این نوع قاب‌های مهاربندی شده، شکل‌پذیری موردنیاز برای قاب‌های مهاربندی شده تا ۵ طبقه تأمین می‌شود.

۲.۶. قاب‌های ساختمانی ساده توازن با مهاربندهای همگرای ویژه و به صورت ۷ و ۸ ترکیبی

مطابق مقادیر ارائه شده در جدول ۲، ضریب کاهش شکل‌پذیری ۱۶ قاب ساختمانی ساده توازن با مهاربندهای ویژه و به صورت ۷ و ۸ ترکیبی، از $2/44$ تا $4/22$ متغیر است. مطابق شکل ۹، در صورتی‌که ارزیابی ضریب کاهش شکل‌پذیری موردنیاز مطابق آئین نامه ASCE ۷ منظور باشد ($R_{\mu} \geq 6,2 = 3$) تا از این قاب، شکل‌پذیری موردنیاز را تأمین نکرده است. البته چون این قاب‌ها براساس $R = 5/5$ طراحی شده‌اند، ممکن است وضع از این نیز بدتر شود. اما اگر ارزیابی شکل‌پذیری موردنیاز این نوع قاب‌ها مطابق پیش‌نویس ویرایش چهارم

۷. نتیجه‌گیری

همچنین، تابع به دست آمده از تحلیل استاتیکی غیرخطی ۱۶ قاب ساختمانی ساده توأم با مهارینده‌ای همگرای ویژه و به صورت ۷ و ۸ ترکیبی نشان می‌دهد که:

۱. به لحاظ میزان مصالح مصرفی، این نوع قاب‌های مهارینده‌شده ویژه نسبت به قاب‌های مهارینده‌ای همگرای معمولی به ترتیب برای قاب‌های از ۱ تا ۱۶ طبقه، ± ۲۹ درصد مقرر شده است.

۲. مطابق تابع این پژوهش، ضریب رفتار پیشنهادشده در پیش‌نویس ویرایش چهارم استاندارد ۲۸۰۰ ایران ($R = ۵/۵$) برای قاب‌های مهارینده‌شده همگرای ویژه منطقی‌تر از ضریب رفتار پیش‌بینی شده در آئین‌نامه‌ی ASCE۷ ($R = ۶$) است.

۳. متأسفانه در این نوع سیستم‌های سازه‌بینی در قاب‌های حدوداً بالای ۱۰ طبقه، شکل‌پذیری مورد نیاز تأمین نمی‌شود. براساس تابع به دست آمده از این پژوهش برای قاب‌های بالای ۱۰ طبقه، باید از ضریب رفتار کمتری استفاده شود.

۴. در قاب‌های بالای ۱۰ طبقه، سازه عموماً تغییر مکان هدف را تجربه نمی‌کند و قبل از رسیدن به آن به حالت مکانیزم می‌رسد و فرو می‌ریزد و این مستلزم تجدیدنظر در ارائه ضریب رفتار قاب‌های بالای ۱۰ طبقه از این نوع قاب‌ها را تأیید می‌کند.

تابع به دست آمده از تحلیل استاتیکی غیرخطی ۱۶ قاب ساختمانی ساده توأم با مهارینده‌ای همگرای معمولی و به صورت ۷ و ۸ ترکیبی، نشان می‌دهد که:

۱. در این‌گونه سیستم‌های سازه‌بینی برای قاب‌های تا ۵ طبقه، ضریب کاهش شکل‌پذیری موجود از ضریب کاهش شکل‌پذیری مورد نیاز $R \geq ۴$ (ASCE۷) $= ۱/۶\sqrt{۲} = ۱/۲\sqrt{۲}$ بیشتر بوده و برای این قاب‌ها از منظر شکل‌پذیری، ضعف عمدی‌بین مشاهده نشده است و این موضوع محدودیت ذکرشده در آئین‌نامه‌ای طراحی برای بیشینه ارتفاع این‌گونه سیستم‌های سازه‌بینی را توجیح می‌کند.

۲. بیشینه ارتفاع مجاز این نوع قاب‌های مهارینده‌شده می‌تواند از مقدار موردنظر آئین‌نامه‌ی ASCE۷ (۱۰/۷ متر)، بیشتر در نظر گرفته شود.

۳. مطابق منحنی‌های ظرفیت تهیه شده، در بیشتر مواقع این نوع قاب‌های مهارینده‌شده تغییر مکان هدف را تجربه نمی‌کنند و قبل از رسیدن به آن به حالت مکانیزم می‌رسند. ولی با وجود این، به خاطر بالتر بودن سطح مقاومت آنها، برای قاب‌های تا ۵ طبقه شکل‌پذیری مورد نیاز تأمین می‌شود.

منابع (References)

1. Uriz, P., Filippou, F.C. and Mahin, S.A. "Model for cyclic inelastic buckling of steel braces", *J. Struct. Eng.*, **134**(4), pp. 619-628 (2008).
2. Uriz, P. and Mahin, S.A., *Toward Earthquake-Resistant Design of Concentrically Braced Steel-Frame Structures*, PEER-2008/08, Pacific Earthquake Engineering Research Center (PEER), Univ. of California, Berkeley, CA (2008).
3. Uang, C.M. and Nakashima, M., *Steel Buckling-Restrained Frames*, (Chapter 16) in *Earthquake Engineering: From Engineering Seismology to Performance-Based Engineering*, Editors: Bozorgnia, Y. and Bertero, V.V., CRC Press (2004).
4. Mofid, M. and Lotfollahi, M. "On the characteristics of new ductile knee bracing systems", *Journal of Constructional Steel Research*, **62**(3), pp. 271-281 (2006).
5. MHUD, Iranian National Building Code, Part 10, *Steel Structure Design*, Tehran (Iran), Ministry of Housing and Urban Development (2013).
6. American Institute of Steel Construction (AISC341), Seismic Provisions for Structural Steel Buildings (2010).
7. American Society of Civil Engineers (ASCE7), Minimum Design Loads for Buildings and Other Structures , p. 7 (2010).
8. BHRC, *Iranian Code of Practice for Seismic Resistant Design of Buildings*, Standard No. 2800 (3rd Edition), Building and Housing Research Center (2005).
9. ETABS, *Integrated Building Design Software*, Nonlinear Version 9.7.3, Berkeley; (California), USA: Inc. (1995).
10. American Institute of Steel Construction (AISC360), Specification for Structural Steel Buildings (2010).
11. Balandra, T. and Huang, X. "Overstrength and ductility factors for steel frames designed according to BS 5950", *Journal of Structural Engineering, ASCE*, **129**(8), pp. 1019-1035 (2003).
12. Newmark, N.M. and Hall, W.J. "Seismic design criteria for nuclear reactor facilities", Rep. No. 46, Building Practices for Disaster Mitigation, National Bureau of Standards, U.S. Department of Commerce (1973).
13. Newmark, N.M. and Hall, W.J., *Earthquake Spectra and Design*, Earthquake Engineering Research Institute, EERI Monograph Series, Oakland, California (1982).
14. Miranda, E. "Site-dependent strength reduction factors", *Journal of Structural Engineering, ASCE*, **119**(12), pp. 3503-3519 (1993).
15. Miranda, E. and Bertero, V.V. "Evaluation of strength reduction factors for earthquake-resistant design", *Earthquake Spectra*, **10**(2), pp. 357-379 (1994).
16. Federal Emergency Management Agency (FEMA), *Pre-standard and Commentary for the Seismic Rehabilitation of Buildings*, (FEMA 356), Washington, DC (November 2000).